### ❖妇产科影像学

# Ultrasonographic features and clinical pathological characteristics in yolk sac tumors of ovary

YE Xiaojian, XU Rongquan, HUANG Chunyan, YAN Lei\*

(Department of Ultrasound, the First Affiliated Hospital of Fujian Medical University,
Fuzhou 350005, China)

[Abstract] Objective To explore the ultrasonographic features of yolk sac tumors of ovary. Methods Totally 12 patients (13 lesions) of the yolk sac tumors of ovary confirmed by pathology were analyzed retrospectively. Two-dimensional ultrasonography, color Doppler and spectral Doppler features were observed and combined with clinical manifestations. Results Ultrasound showed 1 case with bilateral single lesion and 11 cases with unilateral single lesion, the median size of tumors was 11.82 cm × 11.19 cm. Thirteen lesions showed liquid-solid mixed echo, and the blood flows in solid region were  $\geqslant$  grade II according to Adler's semi quantitative method, the resistance index of blood was 0.37—0.55; Six cases combined with abdominal cavity effusion. Pathology showed 2 cases combined with omentum or rectal pouch metastasis and 1 case was tubal, ovarian artery and vein invasion. Conclusion Ultrasound images in the yolk sac tumors of ovary have characteristics and diagnosis must closely combine with clinical manifestations, some cases still need to be confirmed by pathology and immunohistochemistry.

[Key words] Ovary; Yolk sac tumor; Ultrasonography **DOI**:10. 13929/j. 1003-3289. 201701049

## 卵巢卵黄囊瘤的超声及临床、病理特征

叶小剑,徐荣全,黄春燕,鄢 磊\*

(福建医科大学附属第一医院超声影像科,福建 福州 350005)

[摘 要] 目的 探讨卵巢卵黄囊瘤(YST)超声特点。方法 回顾性分析经病理证实的 12 例卵巢卵黄囊瘤(共 13 个病灶)患者的二维声像、彩色多普勒及频谱多普勒超声表现,并与临床、病理表现对照。结果 超声显示 12 例患者中,11 例 YST 单侧单发,1 例双侧单发,共 13 个病灶,瘤体中位径线 11. 82 cm×11. 19 cm;13 个病灶均呈囊实性混合回声,实性区域血流 Adler 半定量法分级均 II 级及以上,阻力指数 0. 37~0. 55;6 例合并腹腔积液。病理显示 2 例有网膜或直肠陷窝转移,1 例合并患侧输卵管、卵巢动静脉浸润。结论 YST 具有一定的超声特征,但确诊必须结合临床表现,部分病例仍需病理免疫组化确诊。

[关键词] 卵巢;卵黄囊瘤;超声检查

[中图分类号] R737.31; R445.1 [文献标识码] A [文章编号] 1003-3289(2017)07-1029-04

卵巢卵黄囊瘤(yolk sac tumour, YST) 是一种罕见且恶性度高的肿瘤,多发生于儿童及青年女性,肿

[第一作者] 叶小剑(1978—),男,福建永安人,硕士,主治医师。研究方向,超声影像学诊断及治疗。E-mail: xjian\_y@163.com

[通信作者] 鄢磊,福建医科大学附属第一医院超声影像科,350005。

E-mail: yanlei20082336@163.com

[收稿日期] 2017-01-09 [修回日期] 2017-05-03

瘤生长迅速、易发生早期转移。20世纪中期,在未采用有效的综合治疗之前,该病预后极差,多数患者生存时间<3年。近年,由于综合治疗技术的提高,YST的预后有了极大改善,但延续生命的同时,保留生育功能也至关重要。因此,该病的早期诊断、及时治疗,对于改善预后有重要意义。本研究回顾性分析经病理证实且有完整记录的12例卵巢YST患者的超声和临床

资料,旨在探讨卵巢 YST 的声像图特征和临床、病理特点,以期提高本病的超声诊断水平。

#### 1 资料与方法

1.1 一般资料 收集 2007 年 10 月—2016 年 4 月福建医科大学附属第一医院经手术病理证实的卵巢 YST 患者 12 例,年龄 1~29 岁,中位年龄 12 岁。1 例患者以腹痛入院,余患者以腹胀或腹部肿物入院。8 例患者月经未来潮、4 例已行经。

1.2 仪器与方法 采用 Philips iU22 彩色多普勒超声诊断仪,凸阵探头 C5-1,频率 1~5 MHz;Siemens Equoia 512 彩色 超声诊断仪,凸阵探头 4C1,频率 2.0~4.5 MHz。患者充盈膀胱,以子宫底清晰显示为限,采用仰卧位直接扫查法,观察肿物的位置、大小、内部回声、边界、后方回声、彩色血流等情况,彩色血流以 Adler 血流半定量法分级;同时观察周围脏器、血管情况。

#### 2 结果

2.1 超声表现 12 例患者共13 个病灶,其中1 例为 双侧单发病灶,余11例均为单侧单发病灶。病灶最大 20.03 cm×19.44 cm,最小 4.09 cm×3.98 cm,中位 大小 11.82 cm×11.19 cm;13 个病灶均境界清楚,除 1个病灶相对较小,患侧卵巢较清楚外,余12个病灶 患侧均未显示正常卵巢组织;盆腹腔脏器均受不同程 度推挤。13个病灶内部均呈实性与囊性混合回声,呈 现蜂窝状(图 1A)或不规则网格样(图 2A)改变,实性 部分回声分布不均质,囊性区域内透声程度不一;13 个病灶内均未见钙化。12 例患者中,6 例合并大量腹 腔积液。12 例患者均无腹盆腔、网膜等种植转移或腹 膜后、肝脏的远处转移。彩色多普勒及频谱多普勒检 查显示 13 个病灶实性区域内见 Adler 半定量法 Ⅱ级 及以上血流,呈现五彩镶嵌状(图 1B)或条带状(图 2B) 改变,血流阻力指数 0.37~0.55;囊性结构包括 内部的条带状分隔上均未见血流信号。

2.2 病理表现 所有患者均于超声检查后2周内行手术治疗。术后大体标本显示病灶包膜完整,呈囊实

性混合结构,实体部分呈鱼肉状改变。9例(9个病灶)病灶内出血坏死,2例累及大网膜及腹膜后,1例累及同侧输卵管及卵巢动静脉。12例均未见相关引流区淋巴结转移,1例病灶内有骨及软骨化生。免疫组化示12例患者AFP均呈阳性;6例接受SALL-4检测,均为阳性。

#### 3 讨论

卵巢 YST 也称为内胚窦瘤,发生率低,约占卵巢 恶性肿瘤的  $1\%^{[1]}$ ;好发于儿童及年轻女性,发病年龄 多小于 30 岁<sup>[2]</sup>,有研究<sup>[3]</sup>报道的最大患者年龄可达 86 岁。

3.1 临床与病理特征 卵巢 YST 患者多以腹胀、腹部肿块就诊,部分患者主诉腹痛,极少因肿瘤破裂导致相关急腹症,罕见有内分泌症状。由于患者发病年龄轻、症状不明显且肿瘤侵袭性强、易种植转移,因此确诊时肿瘤通常较大,可伴网膜、子宫直肠陷窝等处的转移,并可伴发腹腔积液;卵巢 YST 远处转移以肝、肺多见<sup>[4]</sup>。 YST 恶性度高,发展迅速,20 世纪 70 年代的报道仅 13%患者存活超过 3 年<sup>[5]</sup>,70 年代后期因诊断技术、手术技巧及综合辅助治疗水平的提高,卵巢 YST 患者的 5 年生存率有了极大提高<sup>[6]</sup>,同时,对于有生育期望的成年患者,保存生殖能力也成为可能。

YST 大体标本多包膜完整,切面呈囊、实性混合,囊性结构多以蜂窝状改变为主,囊液性状多变,实性结构多呈鱼肉状。卵巢 YST 可伴发其他生殖细胞肿瘤,其中以畸胎瘤多见<sup>[7]</sup>;由于本研究例数较少,故未发现卵巢内伴发其他生殖细胞肿瘤患者。YST 不单纯发生于卵巢,在性腺(包括睾丸)组织发生的迁移路径上均可出现,甚至可以发生于鼻咽、鼻窦<sup>[8]</sup>及松果体等特殊部位。

目前认为 YST 起源于原始生殖细胞或多潜能胚胎细胞。由于起源于原始生殖细胞,除免疫组化甲胎蛋白表达呈阳性改变外,患者血清甲胎蛋白阳性率近100%,因而血清甲胎蛋白检查可作为卵黄囊瘤的诊断



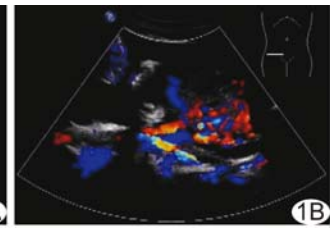






图 1 患者 15 岁,卵巢 YST A. 灰阶超声示瘤体呈囊实性混合回声,蜂窝状改变,合并腹腔积液; B. 彩色多普勒超声示瘤体内呈现五彩镶嵌的彩色血流信号 图 2 患者 29 岁,卵巢 YST A. 灰阶超声示瘤体呈囊实性混合回声,不规则网格状改变; B. 彩色多普勒超声示瘤体内呈现条带状的彩色血流信号

依据及疗效、预后的评价标准;由于起源于多潜能胚胎细胞,故瘤体中可检出分化成熟的间叶成分以及肝样或肠样细胞等。近年来 SALL-4 作为一种新的肿瘤标志物被广泛应用,研究表明其在 YST 的阳性表达强度比甲胎蛋白更高<sup>[9-10]</sup>,同时特异度更好,有助于 YST的诊断。本研究显示,接受 SALL-4 检测的患者均呈阳性。

3.2 声像图特征 卵巢 YST 多为单侧单发,鲜有双 侧发生的报道,本研究仅1例双侧发生,但因 YST 具 有易播散特性,故另一侧肿瘤有继发转移的可能,但声 像图及病理学均不易区分。卵巢 YST 体积较大,有研 究报道卵巢 YST 最大径线可达 50 cm[11],本研究中最 大瘤体径线达 20.03 cm。卵巢 YST 内部回声有实 性、囊性或囊实性混合等多种表现,尤以囊实性混合回 声多见。出现囊性改变的原因为:①YST的自身特 性,YST内部囊性区域在病理结构上类似于人类胚胎 的卵黄囊,这也是其获名"卵黄囊瘤"的原因;②瘤体过 大后可出现出血坏死的囊性变,本组9个病灶(9/13, 69.23%)出现出血坏死,由于出血坏死继发囊性变的 程度不同,囊性结构内透声表现不一。同时卵巢 YST 病灶可出现其他组织成分(如间叶组织)的分化,本研 究1例病灶内部存在骨及软骨化生,造成回声构成的 进一步复杂化。通常体积巨大的肿瘤,内部均可发现 钙化,但本研究并未观察到钙化声像存在,推测原因是 肿瘤钙化通常是营养不良性钙化,其钙质沉着时间要 求较长,而 YST 的成长迅速,故在肿瘤被发现时未及 形成超声可见范围内的钙化灶。

卵巢 YST 内实性部分血流信号通常较丰富<sup>[12-14]</sup>,血流阻力通常以中、低阻力为主,本研究 13 个病灶的血流 Adler 半定量均为 Ⅱ 级及以上,病灶血流阻力为 0.37~0.55,其原因为肿瘤体积过大,新生血管丰富,缺乏弹力结构,甚至存在动静脉瘘<sup>[15]</sup>。

卵巢 YST 的转移以盆腔脏器及网膜种植转移为主,有研究[16]认为卵巢 YST 种植转移灶以结节样实性回声多见,推测是转移灶生长期限相对较短,体积较小,囊腔样结构较难被超声发现所致。本研究 2 例患者肿瘤最大径线分别为 20.03 cm、17.84 cm,术后病理显示肿瘤种植网膜或直肠陷窝,但术前超声未显示,考虑由于原发瘤体过大,推挤周围组织,造成回声分辨难度增大所致;由于卵巢 YST 容易种植转移,造成腹腔液体平衡失调,故可出现腹腔积液。本研究 6 例伴发腹腔积液,其中 2 例合并网膜或直肠陷窝转移,1 例合并患侧输卵管、卵巢动静脉浸润;因此提示在卵巢

YST 的诊断过程中,尤其合并腹腔积液时,应当注意 子宫及腹盆腔其他部位的扫查,避免遗漏。晚期卵巢 YST 可有肝脏转移,其肝脏病灶的回声特点以实性高 回声为主,本研究患者均未发现有肝、肺等远处转移。 3.3 鉴别诊断 卵巢 YST 需与卵巢恶性浆液性或黏 液性肿瘤、透明细胞癌、颗粒细胞瘤、无性细胞瘤、未成 熟性畸胎瘤等鉴别。卵巢恶性浆液性或黏液性肿瘤、 透明细胞癌、颗粒细胞瘤,好发年龄均为25岁以上,卵 巢恶性浆液性或黏液性肿瘤累及双侧的病例接近 20%,颗粒细胞瘤有内分泌症状,并且血清甲胎蛋白无 阳性表现。未成熟性畸胎瘤内部可见钙化性强回声后 伴声影,血流信号不丰富,甲胎蛋白表达程度低于卵巢 YST。无性细胞瘤多以实性低回声为主,血流信号不 丰富,血清甲胎蛋白阴性。虽然上述卵巢肿瘤与卵巢 YST 有较多特征差异,但单纯依靠超声图像改变,较 难明确定性诊断。本研究术前确诊卵巢 YST 仅 4 例, 占 33. 33%, 余 8 例均明确定位, 仅给出"卵巢恶性肿 瘤"的疑诊诊断。

综上所述,卵巢 YST 好发儿童及年轻女性,肿瘤生长速度快,体积大,双侧发病罕见,较易发生种植转移;瘤体内部呈现囊实性混合回声,实性区域血流信号丰富,以中、低阻力改变为主,常合并腹腔积液,血清甲胎蛋白阳性;确诊需依靠病理及免疫组化。

### [参考文献]

- [1] Fujita M, Inoue M, Tanizawa O, et al. Retrospective review of 41 patients with endodermal sinus tumor of the ovary. Int J Gynecol Cancer, 1993, 3(5):329-335.
- [2] Koi C, Kurita T, Kagami S, et al. A case of ovarian yolk sac tumor associated with endometrioid adenocarcinoma. Gynecol Oncol Case Rep. 2014,9:11-4.
- [3] Lange S, Livasy C, Tait DL. Endodermal sinus tumor of the ovary in an 86 year old Woman. Gynecol Oncol Case Rep, 2012, 2
- [4] Dällenbach P, Bonnefoi H, Pelte MF, et al. Yolk sac tumours of the ovary: An update. Eur J Surg Oncol, 2006, 32(10):1063-1075.
- [5] Kurman RJ, Norris HJ. Endodermal sinus tumor of the ovary: A clinical and pathologic analysis of 71 cases. Cancer, 1976, 38(6): 2404-2419.
- [6] Nawa A, Obata N, Kikkawa F, et al. Prognostic factors of patients with yolk sac tumors of the ovary. Am J Obstet Gynecol, 2001, 184(6):1182-1188.
- [7] 许恪淳,管雯斌,许艳春,等.儿童卵黄囊瘤病理学特征及鉴别诊断.上海交通大学学报医学版,2013,33(2):200-203.
- [8] Mei X, Xia Y, Sasano H, et al. Sinonasal yolk sac (endodermal

- sinus) tumor in an adult female—A case report and review of the literature. APMIS, 2015, 123(9):810-814.
- [9] 李想,王珊,邓晓斌,等. SALL4 在儿童卵黄囊瘤中表达的研究. 中华小儿外科杂志,2011,32(8):585-589.
- [10] Cao D, Guo S, Allan RW, et al. SALL4 is a novel sensitive and specific marker of ovarian primitive germ cell tumors and is particularly useful in distinguishing yolk sac tumor from clear cell carcinoma. Am J Surg Pathol, 2009, 33(6):894-904.
- [11] Kawai M, Kano T, Furuhashi Y, et al. Prognostic factors in yolk sac tumors of theovary. A clinicopathologic analysis of 29 cases. Cancer, 1991,67(1):184-192.
- [12] Hung JH, Shen SH, Hung J, et al. Ultrasound and magnetic resonance images of endodermal sinus tumor. J Chin Med Assoc, 2007,70(11):514-518.
- [13] 王志远,杨通明,吴泽惠,等.彩色多普勒超声诊断卵巢内胚窦瘤.中国医学影像技术,2010,26(7):1331-1333.
- [14] 林琳,于诗嘉,史铁梅,等.彩色超声诊断卵巢内胚窦瘤的应用价值探讨.中国超声医学杂志,2012,28(8):764-766.
- [15] 赵凡桂,张浩,孙莉,等.12 例卵巢卵黄囊瘤临床及超声表现分析.实用妇产科杂志,2013,29(8):592-594.
- [16] 玄英华, 张波, 谭莉, 等. 卵巢内胚窦瘤超声表现. 中华医学超声杂志(电子版), 2012, 9(6):535-538.

# Ultrasonic manifestations of chordoma periphericum: Case report 外周脊索瘤超声表现1例

朱笔挥,邱 逦

(四川大学华西医院超声科,四川 成都 610041)

[Key words] Chordoma; Muscle; Ultrasonography [关键词] 脊索瘤;肌肉;超声检查

**DOI**: 10. 13929/j. 1003-3289. 201611104

[中图分类号] R739.42; R445.1 [文献标识码] B [文章编号] 1003-3289(2017)07-1032-01

患者女,47岁,因"发现右肩部包块8个月,进行性增大2个月"就诊。查体:右肩部三角肌处可触及一大小约6.0 cm×3.0 cm×3.2 cm包块,边界清楚,质硬,有压痛,可移动,局部皮温无增高,皮肤表面无浅表静脉怒张。右侧肩关节上举时包块处出现酸胀不适,右上肢肌力及活动正常。超声检查:右上臂三角肌肌层内可见大小约29 mm×13 mm×21 mm的梭形弱回声团,边界清楚,形态规则;内部回声团,边界清楚,形态规则;内部回声不均匀,可见不规则稍强回声区(图1A),未见明显血流信号(图1B)。超声诊断:右侧三角肌实性占位。患者

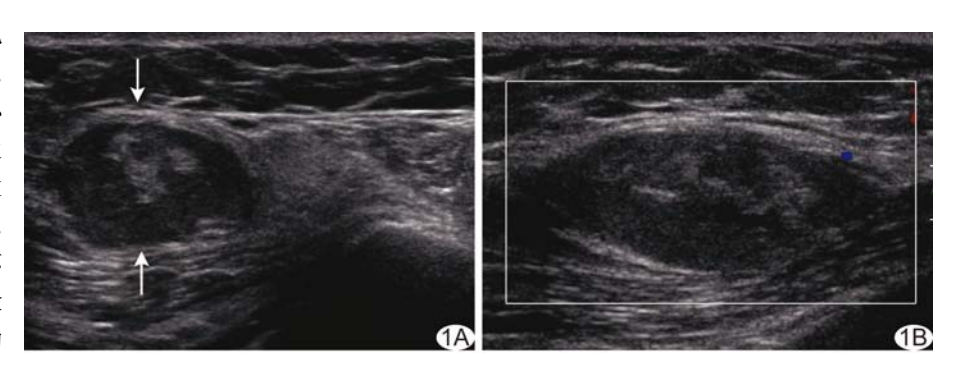


图 1 右侧三角肌外周脊索瘤声像图 A.右侧三角肌肌层内见弱回声团,边界清楚,形态规则,内部回声不均匀,可见小片状稍强回声区(箭); B. CDFI 示团块内无血流信号,周边可见点状血流信号

行右肩部三角肌肿瘤扩大切除术,术中见三角肌纤维内包裹肿瘤,瘤体有完整包膜,表面静脉怒张,剖面呈暗紫色鱼肉样。镜下见肿瘤细胞呈上皮样稀疏排列,伴显著黏液样变,灶区似软骨分化。病理诊断:右肩部软骨样型脊索瘤。

讨论 脊索瘤是一种原发低度恶性骨肿瘤,起源于迷走脊索组织或脊索组织的残存物,具有生长缓慢、局部侵袭及易复

[第一作者]朱笔挥(1994一),女,重庆人,在读硕士。

E-mail: 357433545@qq.com

[收稿日期] 2016-11-21 [修回日期] 2017-04-27

发的特性;多累及中轴骨如颅底和骶尾部。发生于中轴骨外的 脊索瘤为外周脊索瘤或副脊索瘤,十分罕见,好发于青少年和 成年人,一般发生于深部的肢端软组织,邻近肌腱、滑膜或末梢 管状骨。脊索瘤按形态学特点和肿瘤细胞分化程度分为3型: 经典型、软骨样型及去分化型。本例患者为发生于右肩部三角 肌内的外周软骨样型脊索瘤,超声表现与病理结果相符;团块 内稍强回声区可能与其软骨样区域有关,而大量黏液基质的存 在导致血流信号不丰富。该病需与横纹肌肉瘤、平滑肌肉瘤、 纤维肉瘤等肌肉内恶性肿瘤鉴别,脊索瘤超声多表现为肌层深 面、紧贴骨皮质生长的不均匀弱回声团,可伴骨质破坏及钙化 形成,而肉瘤内往往血流信号丰富。